NOVIEMBRE
DICIEMBRE
ENERO
2026 - 2027

Pronóstico extendido para diciembre 2026 - enero - febrero 2027 y enero - febrero - marzo 2027

BOLETÍN

TENDENCIAS

N° 11

PRECIPITACIÓN Y TEMPERATURA MEDIA DEL TRIMESTRE AGOSTO - SETIEMBRE - OCTUBRE

Se presentan los mapas de anomalías[1] de precipitación acumulada y temperatura media del último trimestre móvil, para que además del pronóstico se conozcan las condiciones actuales, y en base a esto poder interpretar de manera más completa los posibles impactos del pronóstico estacional. En esta instancia se representa el trimestre agosto-setiembre-octubre (ASO) cerrado al 27 de octubre de 2026.

Durante el trimestre ASO de 2026 se observó un fuerte contraste entre las regiones norte y sur del país. Por un lado, se destaca un predominio de anomalías positivas de precipitación principalmente al norte del territorio nacional, con acumulados que se ubicaron muy por encima de lo normal (Figura 1, imagen de la izquierda). Estos registros trimestrales responden en su mayoría a los acumulados observados durante el mes de agosto, que se ubicaron por encima de la media mensual en varios puntos del país. Los desvíos positivos más significativos se observaron sobre la región centro-norte y parte del noreste, con anomalías entre 80 y 100 % en varias localidades. Por otro lado, sobre la región sur y suroeste los acumulados de precipitación se ubicaron por debajo de lo normal en varias localidades, con anomalías negativas -40 y -20 % y puntualmente inferiores. En comparación con el trimestre anterior, estas anomalías tuvieron un aumento en su magnitud.

En cuanto a la temperatura media en el mismo período (Figura 1, imagen de la derecha), el trimestre ASO de 2026 mostró un comportamiento muy por debajo de lo normal para esta época del año en todo el país, con anomalías que se ubicaron entre -2.5 y -1.5 °C. Estos registros trimestrales responden principalmente al comportamiento muy por debajo de la media en el mes de octubre.

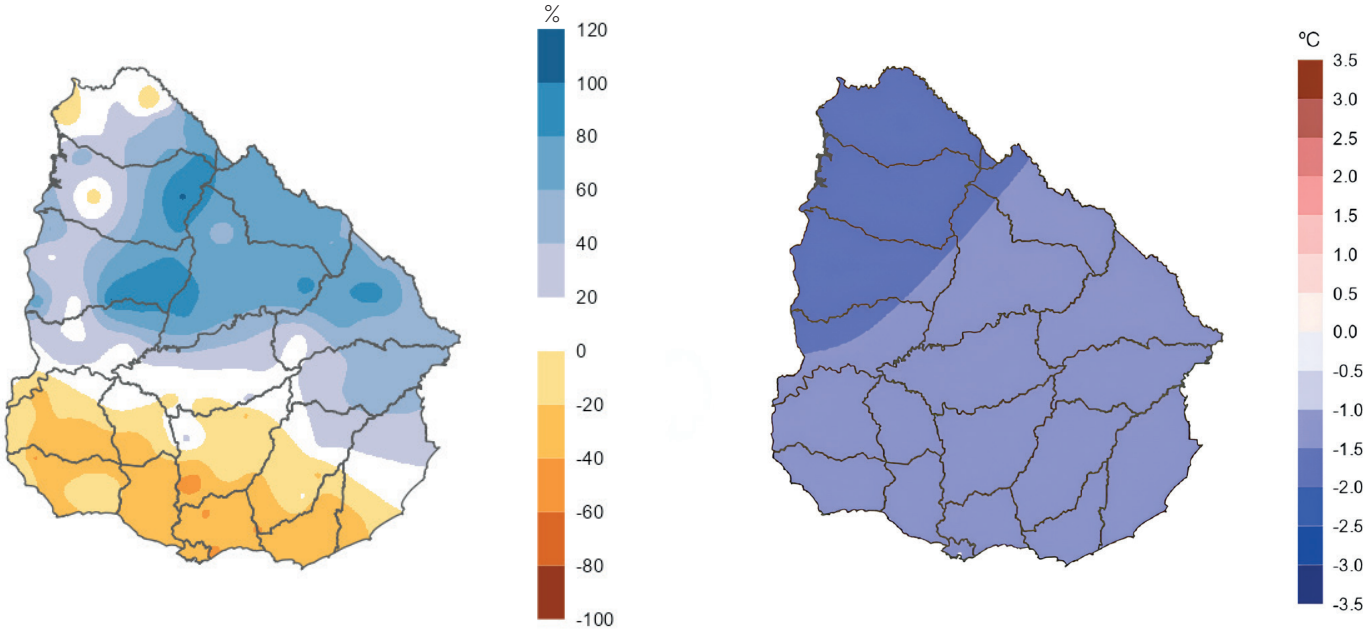


FIGURA 1

Mapas de anomalía de precipitación acumulada (a la izquierda), y de anomalía de temperatura media (a la derecha), para el trimestre agosto-setiembre-octubre cerrado el 27 de octubre de 2026.

[1] Se denomina anomalía a la desviación con respecto al promedio histórico, en este caso para un trimestre dado.

TENDENCIAS CLIMÁTICAS ESTACIONALES

La tendencia se realiza en función de la actual coyuntura climática, las relaciones estadísticas históricas demostradas entre el clima local y condiciones de temperatura de superficie del mar remotas y las salidas de los modelos climáticos de predicción en centros de investigación internacionales.

El informe se presenta en forma de sesgos en la distribución de probabilidad, es decir, en función de la probabilidad que el registro del trimestre entre en la categoría del tercil superior, medio o inferior de la distribución climatológica. En ausencia de sesgos, se debe esperar con igual probabilidad (33.3 %) cada uno de los tres casos.

Dado el actual evento El Niño en curso y el aumento de predictibilidad que se tiene durante su desarrollo, este informe incluye la tendencia climática usualmente emitida para el trimestre móvil inmediato (NDE) y la tendencia climática extendida para los próximos dos trimestres móviles inmediatos: diciembre-enero-febrero 2026-2027 (DEF) y enero-febrero-marzo 2027 (EFM). Las tendencias extendidas serán revisadas cuando se actualice el informe de tendencia mensual.

TENDENCIA CLIMÁTICA ESTACIONAL PARA NDE 2026 - 2027

PRECIPITACIÓN NDE 2026 -2027

Para la precipitación acumulada durante el trimestre noviembre-diciembre-enero 2026-2027, se dividió al país en dos regiones diferentes (ver Figura 2). En la primera región, que abarca el norte, noreste, parte del centro y este del país, se esperan precipitaciones por encima de lo normal, asignándole una probabilidad de 60 % a la categoría del tercil superior, 30 % a la del tercil medio y 10 % a la del tercil inferior. Para la segunda región, que abarca el resto del territorio, se esperan también precipitaciones por encima de lo normal, evn este caso asignándole una probabilidad de 40% a la categoría del tercil superior, 30 % a la del tercil medio y 30 % a la del tercil inferior.

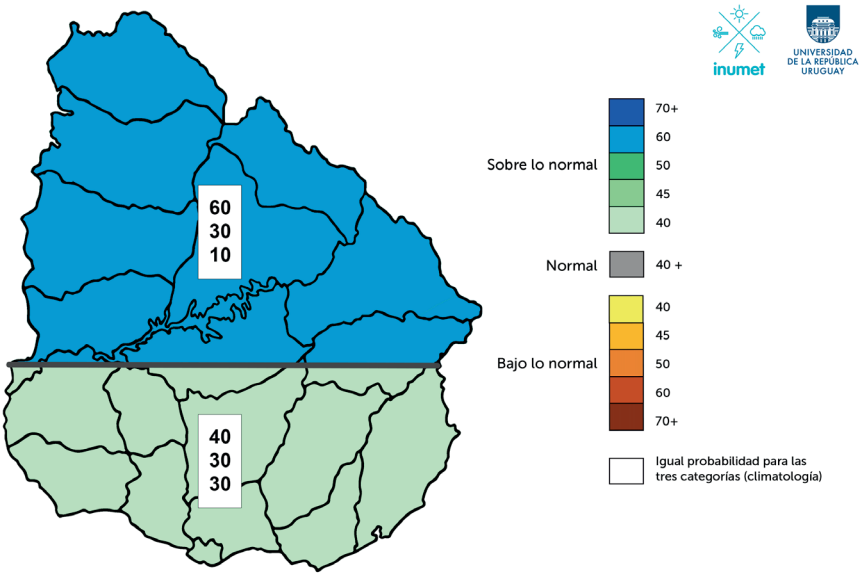


FIGURA 2
Probabilidades en porcentajes de los terciles de precipitación.
Meses: noviembre - diciembre - enero de 2026-2027.

TEMPERATURA NDE 2026 - 2027

Se espera que la temperatura media durante el trimestre noviembre-diciembre-enero 2026-2027 (ver Figura 3), se encuentre por debajo de lo normal, asignándole una probabilidad de 40 % a la categoría del tercil inferior, 30 % a la del tercil medio y 30 % a la del tercil superior.

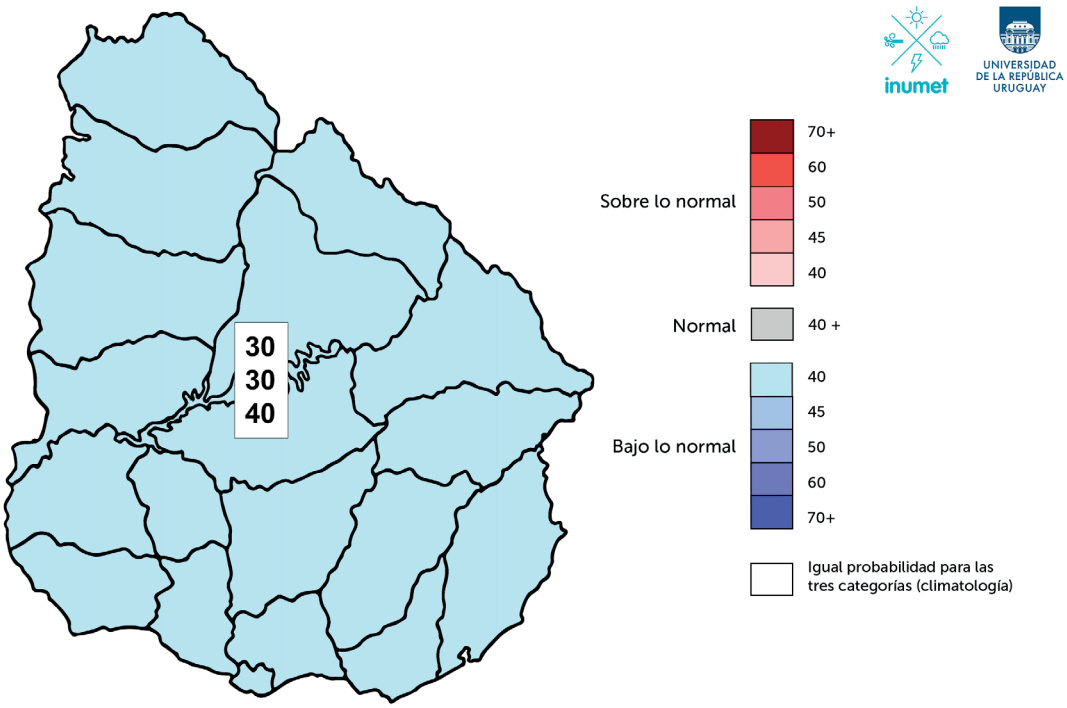


FIGURA 3
Probabilidades en porcentajes de los terciles de temperatura.
Meses: noviembre - diciembre - enero de 2026/2027.

TENDENCIA CLIMÁTICA ESTACIONAL EXTENDIDA PARA DEF 2026-2027

PRECIPITACIÓN DEF 2026

Para la precipitación acumulada durante el trimestre diciembre-enero-febrero 2026-2027, se dividió al país en dos regiones diferentes (ver Figura 4). En la primera región, que abarca el norte y parte del centro del país, se esperan precipitaciones por encima de lo normal, asignándole una probabilidad de 60 % a la categoría del tercil superior, 30 % a la del tercil medio y 10 % a la del tercil inferior. Para la segunda región, que abarca el resto del territorio, se esperan también precipitaciones por encima de lo normal, en este caso asignándole una probabilidad de 40% a la categoría del tercil superior, 30 % a la del tercil medio y 30 % a la del tercil inferior.

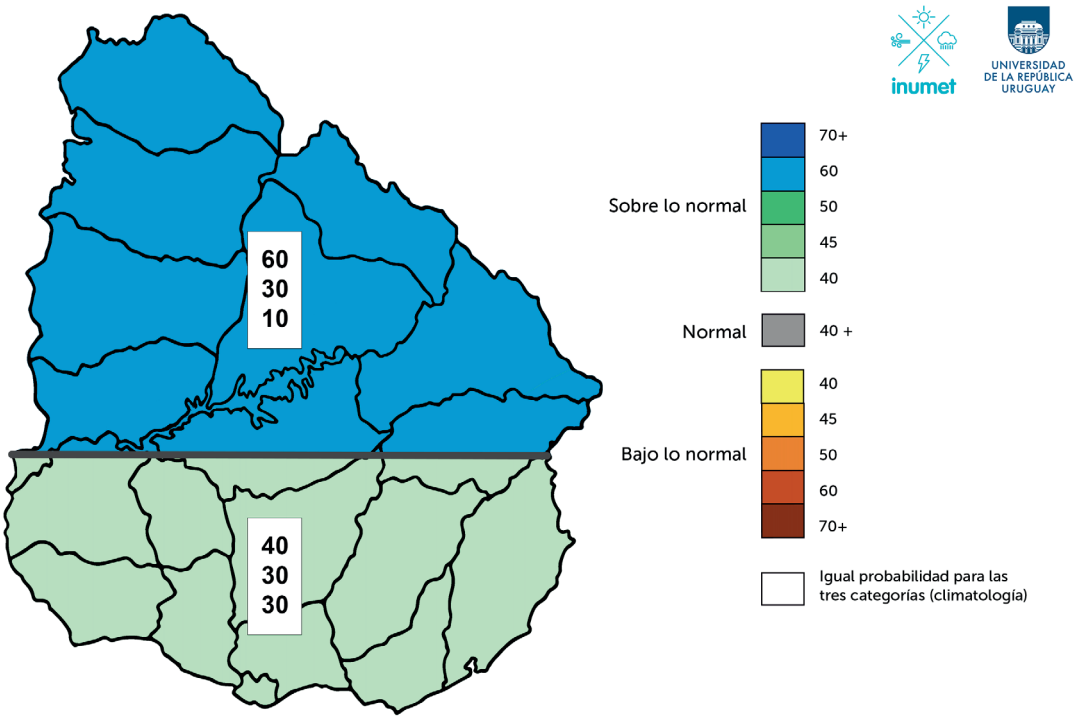


FIGURA 4
Probabilidades en porcentajes de los terciles de precipitación.
Meses: diciembre - enero - febrero de 2026/2027.

TEMPERATURA DEF 2026 - 2027

Para la temperatura media durante el trimestre diciembre-enero-febrero 2026-2027, se dividió al país en dos regiones diferentes (ver Figura 5). En la primera región, que abarca el norte y parte del centro del país, se espera que la temperatura media se encuentre por debajo de lo normal, asignándole una probabilidad de 40% a la categoría del tercil inferior, 30 % a la del tercil superior y 30 % a la del tercil medio. Para la segunda región, que abarca el resto del territorio, se espera que la temperatura media se encuentre dentro de lo normal, asignándole una probabilidad de 40 % a la categoría del tercil medio, 30 % a la del tercil inferior y 30 % a la del tercil superior.

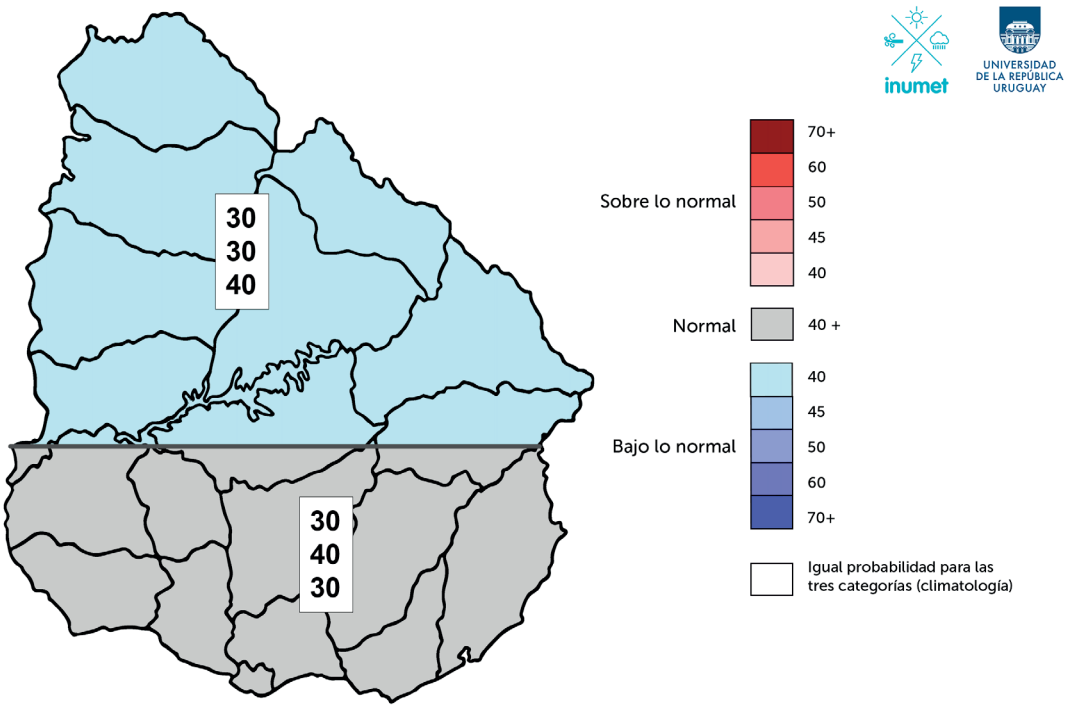


FIGURA 5
Probabilidades en porcentajes de los terciles de temperatura.
Meses: diciembre - enero - febrero de 2026/2027.

TENDENCIA CLIMÁTICA ESTACIONAL EXTENDIDA PARA EFM 2027

PRECIPITACIÓN EFM 2027

Para la precipitación acumulada durante el trimestre enero-febrero-marzo 2027, se dividió al país en dos regiones diferentes (ver Figura 6). En la primera región, que abarca el norte y parte del centro del país, se esperan precipitaciones por encima de lo normal, asignándole una probabilidad de 45 % a la categoría del tercil superior, 35 % a la del tercil medio y 20 % a la del tercil inferior. Para la segunda región, que abarca el resto del territorio, se esperan condiciones de climatología, asignándole la misma probabilidad a cada categoría de terciles (33 %), lo que indica una ausencia de sesgos.

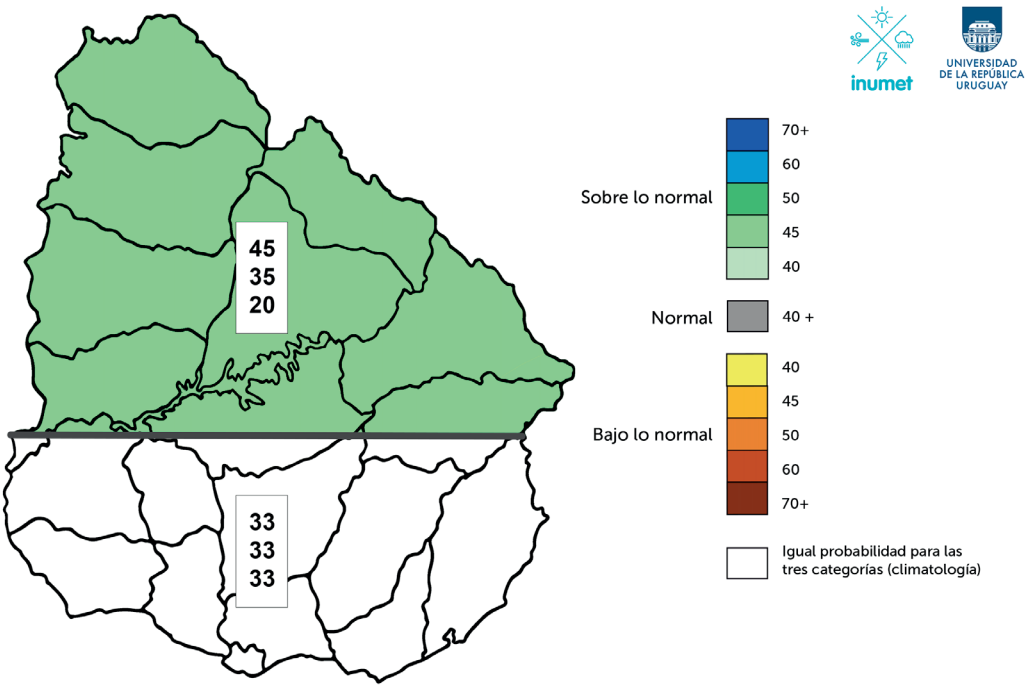


FIGURA 6
Probabilidades en porcentajes de los terciles de precipitación.
Meses: enero - febrero - marzo 2027.

TEMPERATURA EFM 2027

Para la temperatura media durante el trimestre enero-febrero-marzo 2027, se dividió al país en dos regiones diferentes (ver Figura 5). En la primera región, que abarca el norte y parte del centro del país, se espera que la temperatura media se encuentre por debajo de lo normal, asignándole una probabilidad de 40% a la categoría del tercil inferior, 30 % a la del tercil superior y 30 % a la del tercil medio. Para la segunda región, que abarca el resto del territorio, se espera que la temperatura media se encuentre dentro de lo normal, asignándole una probabilidad de 40 % a la categoría del tercil medio, 30 % a la del tercil inferior y 30 % a la del tercil superior.

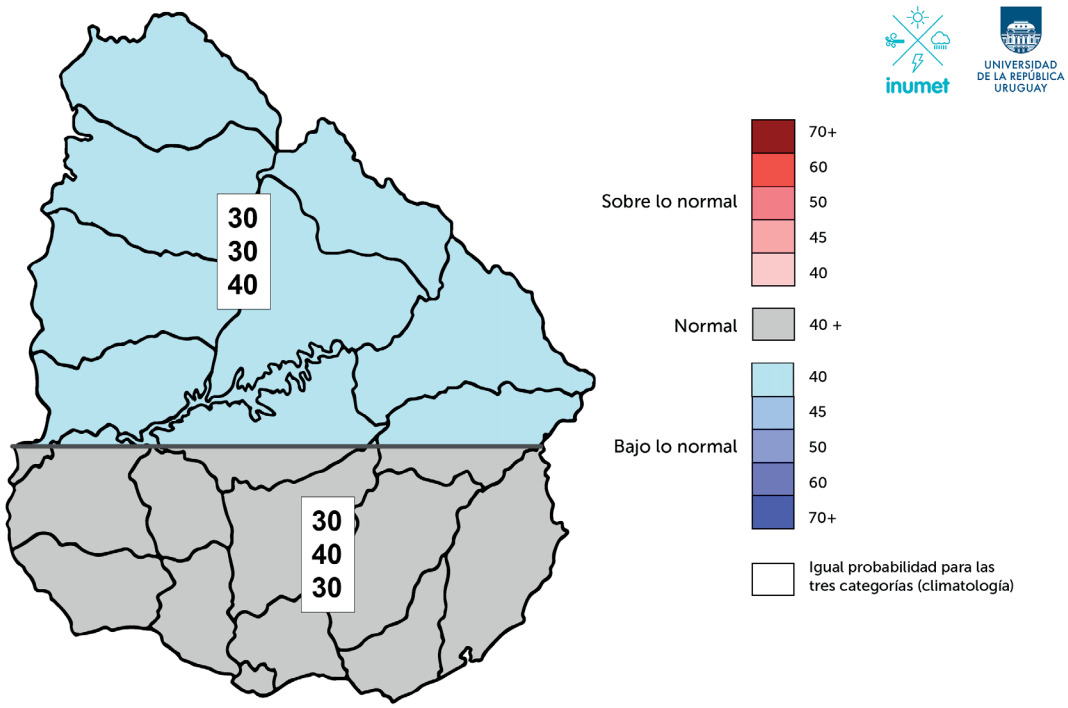


FIGURA 7
Probabilidades en porcentajes de los terciles de temperatura.
Meses: enero - febrero - marzo de 2027.

ANÁLISIS

ESTADO DE LOS OCÉANOS Y LA ATMÓSFERA

Durante el mes de octubre de 2026 se continuó observando la intensificación de las anomalías cálidas de la temperatura superficial del mar (TSM) en el océano Pacífico ecuatorial (ver Figura 9), con registros de anomalía muy altos.

Respecto a la atmósfera sobre la región ecuatorial del océano Pacífico, en niveles bajos se mantuvo el debilitamiento de los vientos alisios en la región centro-oeste. A su vez, en niveles altos se continuó observando la persistencia de la divergencia del viento sobre la región central del Pacífico. Consistente con la persistencia de estas anomalías de circulación, las anomalías de Radiación de Onda Larga (OLR) indican actividad convectiva por encima de lo normal muy persistente, sobre gran parte del océano Pacífico central. También, el índice de la Oscilación Sur (SOI) continuó en valores negativos, aunque disminuyendo levemente su magnitud con respecto al mes anterior. De esta forma, el estado en los océanos y atmósfera tropicales durante el mes de octubre de 2026, permite observar el establecimiento de un evento de El Niño.

Los pronósticos del CPC de NOAA inicializados en octubre indican que las condiciones de El Niño se mantendrían hasta, por lo menos, el trimestre marzo-abril-mayo del 2027, con una probabilidad superior al 80 %. Además, se espera que este evento El Niño alcance categoría de muy fuerte entre los trimestres octubre-noviembre-diciembre y noviembre-diciembre-enero, con más del 90 % de probabilidad, y diciembre-enero-febrero con más del 80 %. Los valores del último registro semanal (informe del 26 de octubre de 2026) de anomalías relativas de TSM en las regiones características Niño 1+2, Niño 3, Niño 3.4 y Niño 4 (Figura 8) son 4.4 °C, 3.6 °C, 2.5 °C, y 0.0 °C, respectivamente.

Por otra parte, respecto al estado de las anomalías de TSM del océano Índico tropical, se destaca la continuidad de la fase positiva observado durante octubre en el índice de seguimiento del Dipolo del Índico (DMI). En particular, los pronósticos de este índice señalan que esta situación se mantendrá durante el trimestre NDE.

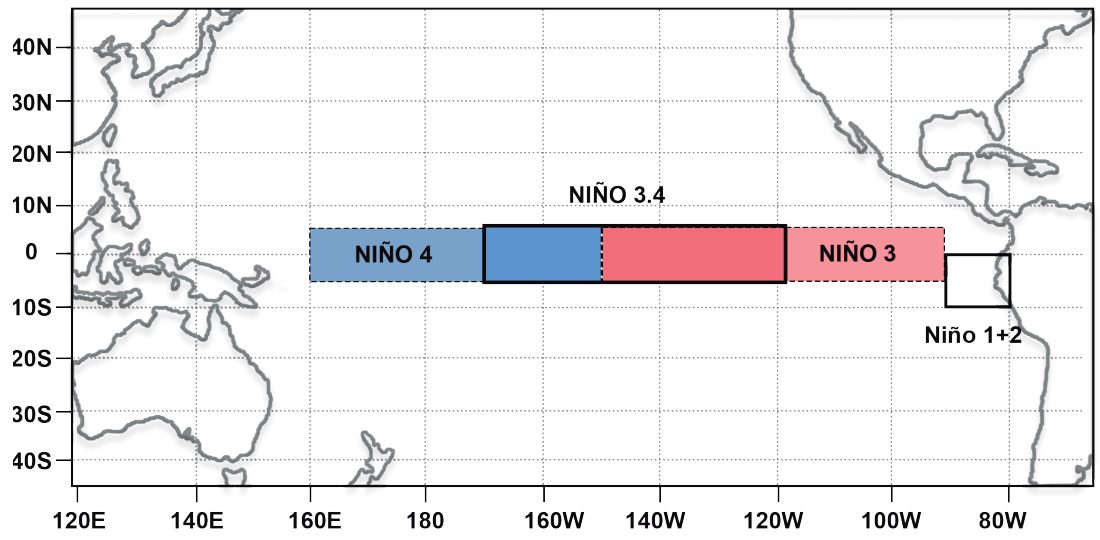


FIGURA 8

Ubicaciones de las regiones El Niño 1+2, 3, 3.4 y 4 sobre el océano Pacífico ecuatorial. Imagen extraída del sitio web de la NOAA (https://www.ncdc.noaa.gov/teleconnections/enso/indicators/sst/).

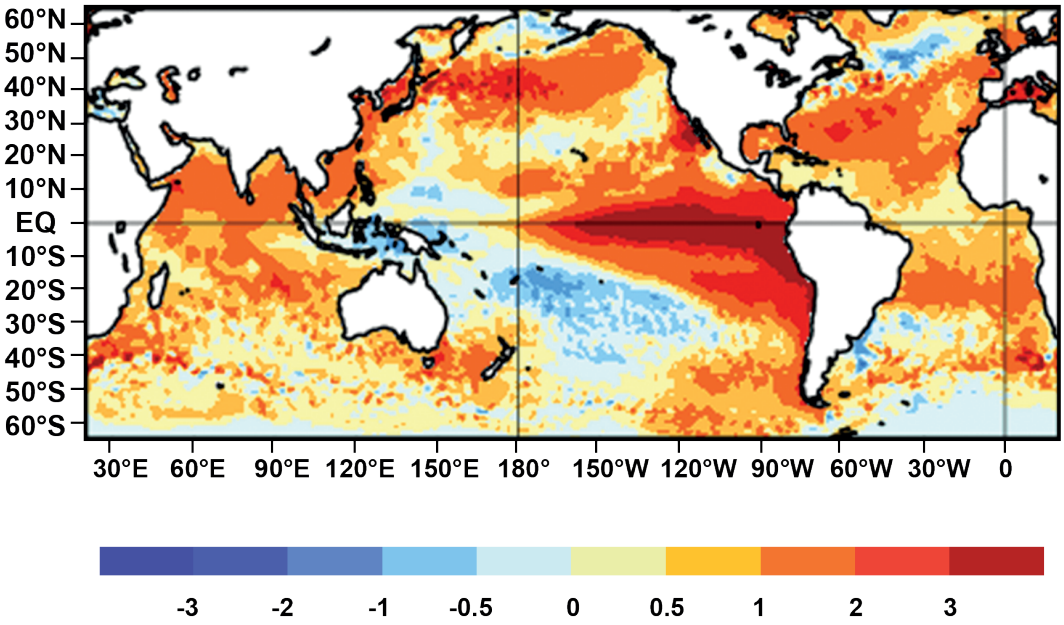


FIGURA 9

Anomalía de la temperatura superficial del mar (del 27 de setiembre al 24 de octubre del 2026). Imagen tomada de "ENSO: Recent Evolution, Current Status and Predictions", Climate Prediction Center / NCEP-NOAA.(https://www.cpc.ncep.noaa.gov/products/analysis_monitoring/lanina/enso_evolution-status-fcsts-web.pdf).

VALORES DE REFERENCIA PARA LA PRECIPITACIÓN ACUMULADA Y LA TEMPERATURA MEDIA DE LOS TRIMESTRES NDE, DEF Y EFM.

A continuación, se presentan en forma de mapas los valores de límite inferior y superior del rango normal tanto para la precipitación acumulada como la temperatura media.
Para definir los límites inferior y superior de la categoría normal se utilizan los terciles de la distribución. Los terciles dividen la distribución en tres partes iguales y se obtienen al ordenar las series de precipitación acumulada y temperatura media trimestral de menor a mayor, tomando como referencia el período 1991-2020.

Cuando en un pronóstico se establece mayor probabilidad a la categoría inferior a lo normal, implica que es más probable que el registro del trimestre se ubique por debajo del límite inferior del rango normal, que se corresponde con los mapas a la izquierda.

LÍMITE INFERIOR DEL RANGO NORMAL

LÍMITE SUPERIOR DEL RANGO NORMAL

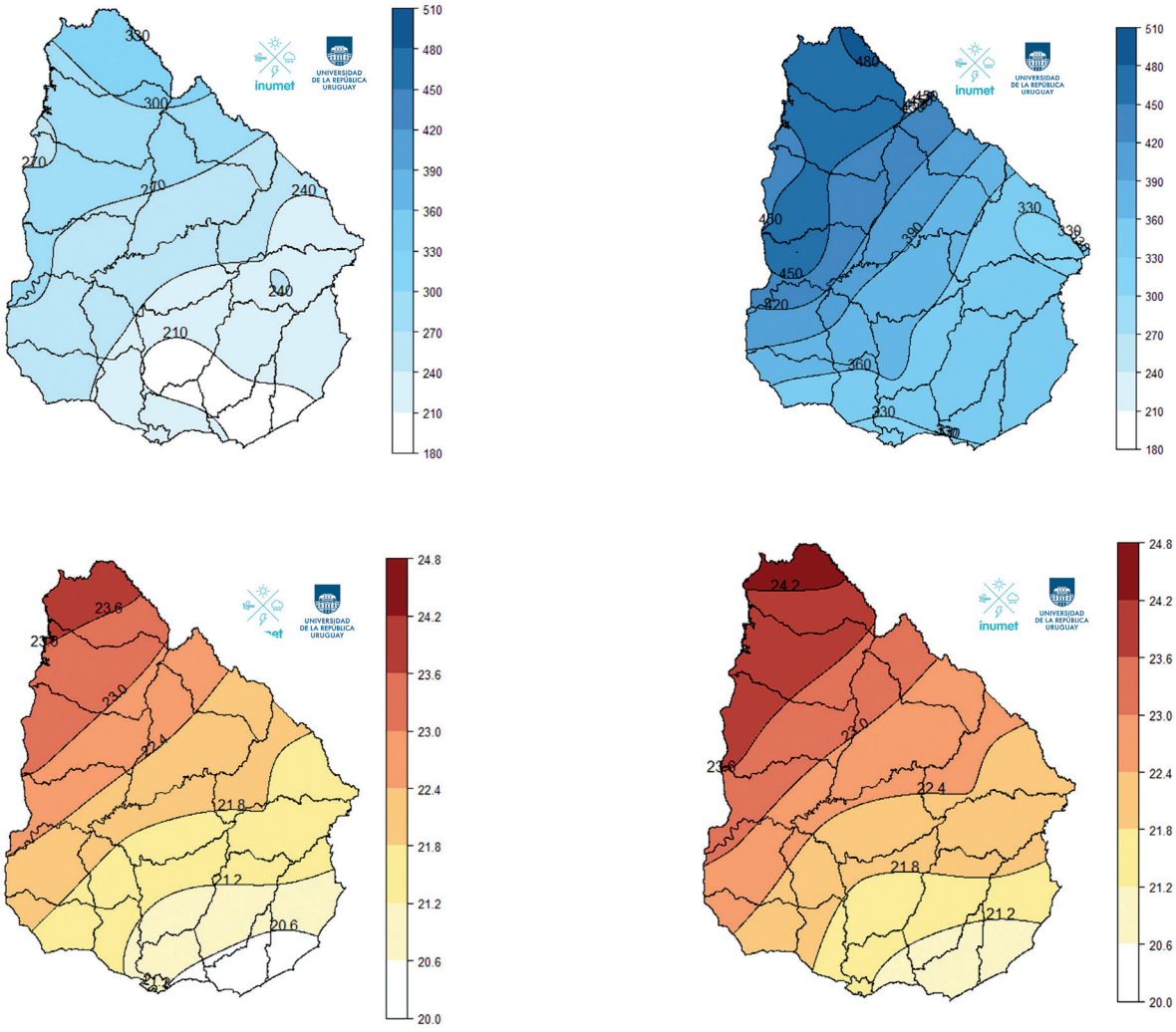


FIGURA 10

Mapas de primer tercil de precipitación acumulada en mm (arriba a la izquierda), segundo tercil de precipitación acumulada en mm (arriba a la derecha), primer tercil de temperatura media °C (abajo a la izquierda), y segundo tercil de temperatura media en °C (abajo a la derecha), para el trimestre noviembre-diciembre-enero. Período de referencia: 1991-2020.

LÍMITE INFERIOR DEL RANGO NORMAL

LÍMITE SUPERIOR DEL RANGO NORMAL

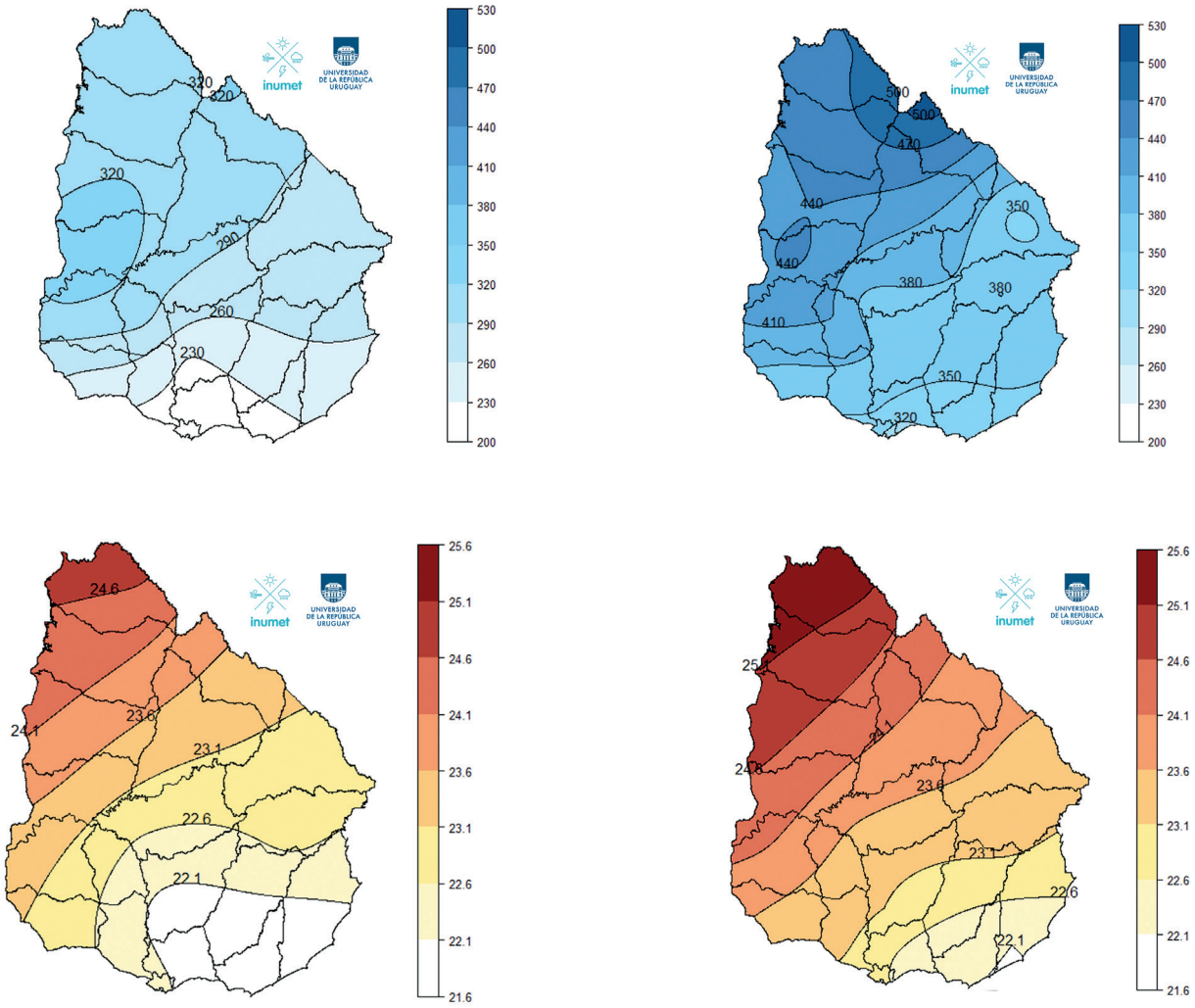


FIGURA 11

Mapas de primer tercil de precipitación acumulada en mm (arriba a la izquierda), segundo tercil de precipitación acumulada en mm (arriba a la derecha), primer tercil de temperatura media °C (abajo a la izquierda), y segundo tercil de temperatura media en °C (abajo a la derecha), para el trimestre diciembre-enero-febrero. Período de referencia: 1991-2020.

LÍMITE INFERIOR DEL RANGO NORMAL

LÍMITE SUPERIOR DEL RANGO NORMAL

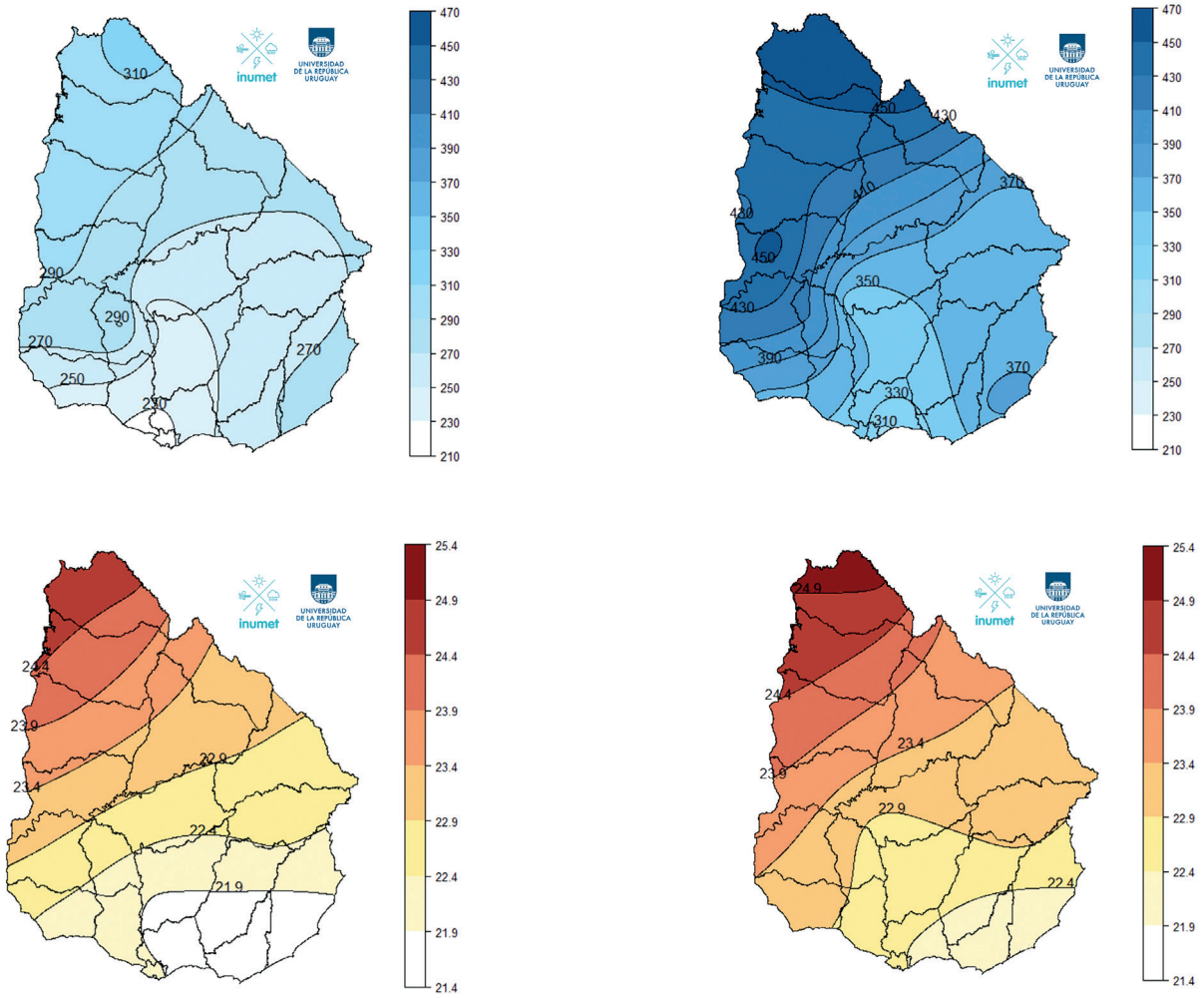


FIGURA 12

Mapas de primer tercil de precipitación acumulada en mm (arriba a la izquierda), segundo tercil de precipitación acumulada en mm (arriba a la derecha), primer tercil de temperatura media °C (abajo a la izquierda), y segundo tercil de temperatura media en °C (abajo a la derecha), para el trimestre enero-febrero-marzo. Período de referencia: 1991-2020.

BOLETÍN

TENDENCIAS CLIMÁTICAS
N°11
NOVIEMBRE - DICIEMBRE - ENERO 2026/2027

inumet

UNIVERSIDAD DE LA REPÚBLICA URUGUAY

Grupo de trabajo en Tendencias Climáticas

Instituto Uruguayo de Meteorología - Universidad de la República